

# Formelsammlung Optik

Mario Felder  
Michi Fallegger

20. April 2014



# Inhaltsverzeichnis

<b>1</b>	<b>Strahlen Optik</b>	<b>1</b>
1.1	Einleitung . . . . .	1
1.2	Konstanten . . . . .	1
1.3	Brechung und Brechungsindex $n$ . . . . .	1
1.4	Strahlenverschiebung . . . . .	2
1.5	Totalreflexion . . . . .	2
1.6	Linsen . . . . .	3
1.6.1	Strahlkonstruktion bei dünnen Linsen . . . . .	3
1.6.2	Vergrößerung . . . . .	3
1.6.3	Optische Instrumente: Mikroskop . . . . .	4
<b>2</b>	<b>Wellen Optik</b>	<b>5</b>
2.1	Konstanten . . . . .	5
2.2	Grundformeln . . . . .	5
2.3	EM Welle in einem transparenten Material . . . . .	6
2.4	Dopplereffekt (Optik) . . . . .	6
2.5	Reale Welle und komplexe Darstellung . . . . .	6
2.6	Vergleich des E-Felds an zwei Punkten . . . . .	7
2.7	Intensität einer EM Welle . . . . .	7
2.8	Interferenz . . . . .	8
2.9	Reflexion und Transmission . . . . .	8
2.10	Dünnfilm-Interferenz . . . . .	9
2.11	Fabry-Perot Interferometer . . . . .	10
2.12	Beugung am Spalt . . . . .	10
2.13	Beugung am Gitter . . . . .	11
2.14	Polarisation . . . . .	11

2.15	Transmission und Reflexion (Fresnell)	12
2.16	Absorption	12
2.17	Intensität Gauss Strahl	12
2.18	Kollimierter Gauss Strahl	13
2.19	Wellenleiter	14
2.19.1	Metall-Wellenleiter	14
2.19.2	Dielektrische planare Wellenleiter	14
2.19.3	Modenprofil	15
2.20	Optische Fasern	16
2.20.1	Singlemodefaser	16
2.20.2	Multimodefaser	17
<b>3</b>	<b>Quanten Optik</b>	<b>19</b>
3.1		19

# Kapitel 1

## Strahlen Optik

### 1.1 Einleitung

- Einfallswinkel = Ausfallswinkel
- Licht breitet sich von einem Punkt A zu einem Punkt B so aus, dass die Laufzeit minimal wird.

### 1.2 Konstanten

Lichtgeschwindigkeit $c = 299'792'458 \text{ m/s}$
---

### 1.3 Brechung und Brechungsindex n

Brechungsindex:

$$n = \frac{c}{c_{mat}}$$

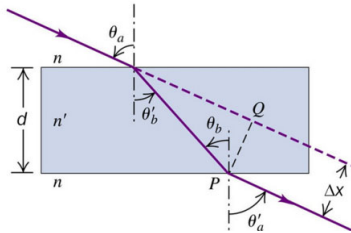
Brechungsgesetz von Snellius:

$$n_A \cdot \sin \theta_A = n_B \cdot \sin \theta_B$$

Der **Winkel** bezüglich der Grenzfläche-Lots.

## 1.4 Strahlenverschiebung

$$\Delta x = d \cdot \frac{\sin(\theta_a - \theta'_b)}{\cos \theta'_b}$$



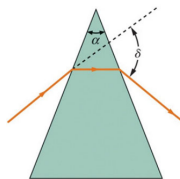
## 1.5 Totalreflexion

Totalreflexion tritt auf, wenn der Grenzwinkel  $\theta_{krit}$  überschritten wird.

$$\sin \theta_{krit} = \frac{n_B}{n_A}$$

Totalreflexion Prisma:

$$\sin \frac{\alpha + \delta}{2} = n \cdot \sin \frac{\alpha}{2}$$



## 1.6 Linsen

**Sammellinsen, Konvexlinsen:** Dieser Linsentyp hat eine positive d.h. reelle Brennweite

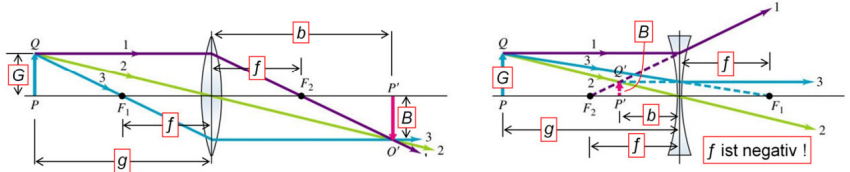
**Zerstreuungslinsen, Konkavlinsen:** Dieser Linsentyp hat eine negative, d.h. virtuelle Brennweite  $f$

### 1.6.1 Strahlkonstruktion bei dünnen Linsen

Linsengleichung:

$$\frac{1}{f} = \frac{1}{g} + \frac{1}{b} \quad \Rightarrow \quad b = \frac{f \cdot g}{g - f}$$

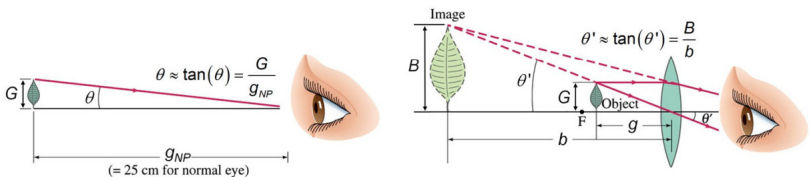
$$\frac{B}{G} = \frac{b}{g}$$



### 1.6.2 Vergrößerung

Vergrößerung:

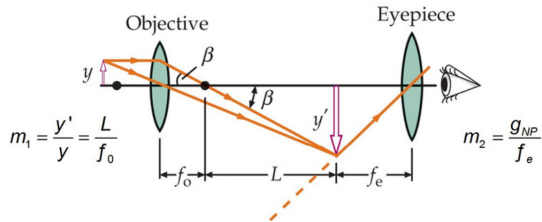
$$M = \frac{\theta'}{\theta} = \frac{g_{NP}}{f} \approx \frac{25\text{cm}}{f}$$



### 1.6.3 Optische Instrumente: Mikroskop

Vergößerung eines Mikroskops:

$$M = m_1 \cdot m_2 = \frac{L \cdot g_{NP}}{f_0 \cdot f_e}$$





# Kapitel 2

## Wellen Optik

### 2.1 Konstanten

$$\varepsilon_0 = 8.85 \cdot 10^{-12} As/Vm$$

$$\mu_0 = 4\pi \cdot 10^{-7} Vs/Am$$

$$n_{Wasser} = 1.3$$

$$n_{Glas} = 1.5$$

### 2.2 Grundformeln

Wellengeschwindigkeit:

$$v = \sqrt{\frac{F_S}{\mu}}$$

$\mu$ : Längenmasse

Harmonische Welle:

$$\lambda \cdot f = v$$

Wellenzahl:

$$k = \frac{2\pi}{\lambda} = \frac{\omega}{v}$$

### 2.3 EM Welle in einem transparenten Material

Der Brechungsindex  $n$  beschreibt wie sich die Welle in einem transparenten Material fortbewegt.

$$c_0 \Rightarrow c = \frac{c_0}{n} \quad \lambda_0 \Rightarrow \lambda = \frac{\lambda_0}{n} \quad f \Rightarrow \textit{konstant}$$

### 2.4 Dopplereffekt (Optik)

Da eine EM Welle kein Medium braucht für die Fortbewegung, ist beim EM Dopplereffekt nur die relative Geschwindigkeit  $v$  zwischen Sender und Empfänger relevant.

$$f' = f \cdot \sqrt{\frac{c-v}{c+v}}$$

$v$  ist positiv bei Entfernung

$v$  ist negativ bei Annäherung

### 2.5 Reale Welle und komplexe Darstellung

Die komplexe Darstellung des E-Feld wird gewählt, weil die Berechnungen oft einfacher sind, insbesondere bei der Superposition (Addition)

von Feldern und der Berechnung der Leistung.

$$E(x, t) = E_0 \cdot e^{i(kx - \omega t + \phi_0)}$$

## 2.6 Vergleich des E-Felds an zwei Punkten

Positionsvergleich:

$$E(x + \Delta x, t) = E(x, t) \cdot e^{ik\Delta x}$$

Zeitvergleich:

$$E(x, t + \Delta t) = E(x, t) \cdot e^{-ik\Delta t}$$

Phasenverschiebung:

$$E(x_1, t_1) = E_0 \cdot e^{i(kx_1 - \omega t_1 + \phi_0)} = E_0 \cdot e^{i\phi_1}$$

$$E(x_2, t_2) = E_0 \cdot e^{i(kx_2 - \omega t_2 + \phi_0)} = E(x_1, t_1) \cdot e^{i\Delta\phi_1}$$

## 2.7 Intensität einer EM Welle

$$I = \frac{\text{Leistung}}{\text{Fläche}} = \frac{P}{A} = \frac{1}{2} \cdot nc_0 \varepsilon_e |E_0|^2$$

$$B_0 \cdot e^{i(kx - \omega t)} \cdot (-i\omega) = E_0 \cdot e^{i(kx - \omega t)} \cdot (ik)$$

$$B_0 = E \frac{k}{\omega} = E \frac{1}{c}$$

$c_0$ : Lichtgeschwindigkeit im Vakuum

$n$ : Brechungsindex

$\varepsilon_0$ : Dielektrizitätskonstante

## 2.8 Interferenz

- Konstruktive Interferenz:  $\Delta\varphi = 0$
- Destruktive Interferenz:  $\Delta\varphi = \pi$

Für Interferenzen zu addieren werden sie zuerst in das E-Feld zurück gerechnet.

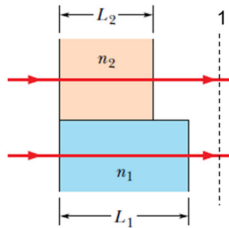
Zeigerdiagramm:

$$E_{tot}(x, t) = E_{1,0} \cdot e^{i\phi_1} + E_{2,0} \cdot e^{i\phi_2} = (E_{1,0} + E_{2,0} \cdot e^{i\Delta\phi}) \cdot e^{i(kx - \omega t)}$$

$$I_{tot} = \frac{1}{2} n c_0 \varepsilon_0 |E_{tot}|^2 = \frac{1}{2} n c_0 \varepsilon_0 |E_{1,0} + E_{2,0} \cdot e^{i\Delta\phi}|^2$$

Phasenverschiebung:

$$\Delta\varphi = \varphi_2 - \varphi_1 = \Delta L k_0 + k_2 L_2 - k_1 L_1$$



$$k_0 = \frac{2\pi}{\lambda_0}$$

$$k_1 = \frac{2\pi}{\lambda_0} n_1$$

## 2.9 Reflexion und Transmission

Energieerhaltung:

$$I_0 = I_r + I_t \quad \Rightarrow \quad n_1 E_0^2 = n_1 E_r^2 + n_2 E_t^2$$

Definition:

$$E_r = r \cdot E_0 \quad \Rightarrow \quad E_t = t \cdot E_0 \quad \Rightarrow \quad 1 + r = t$$

Reflexions- und Transmissionskoeffizienten:

$$r = \frac{n_1 - n_2}{n_1 + n_2} \quad \Rightarrow \quad t = \frac{2n_1}{n_1 + n_2}$$

$$I_r = |r|^2 \cdot I_0 \quad \Rightarrow \quad I_t = \frac{n_2}{n_1} |t|^2 \cdot I_0$$

- $n_1 < n_2$ : Reflektierte Welle erfährt einen Phasensprung von  $\pi$ , bzw.  $\lambda/2$
- $n_1 > n_2$ : Reflektierte Welle erfährt keinen Phasensprung

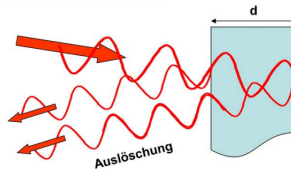
## 2.10 Dünnfilm-Interferenz

Bedingung reduzierte Reflexion:

$$d = m \frac{\lambda_0}{2n} \quad m = 1, 2, ..$$

Bedingung verstärkte Reflexion:

$$d = \frac{\lambda_0}{4n} + m \frac{\lambda_0}{2n} \quad m = 0, 1, ..$$



Die Reflexion beim Übergang zwischen zwei Medien mit Brechungsindizes  $n_1$  und  $n_2$  kann mit einer zusätzlichen Antireflexions-Dünnschicht reduziert werden.

$$n_1 < n_{AR} < n_2$$

Schichtdicke  $\frac{\lambda}{4n_{AR}}$

Idealer Brechungsindex:

$$n_{AR}^2 = n_1 \cdot n_2$$

## 2.11 Fabry-Perot Interferometer

Das Fabry-Perot Interferometer (Etalon) besteht aus zwei parallelen, reflektierenden Oberflächen in einem festen Abstand  $d$  mit einer Reflexion  $R < 100$ .

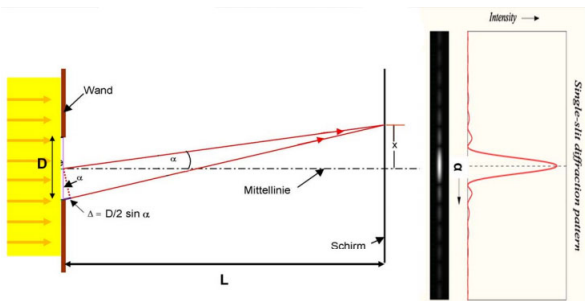
under construction

## 2.12 Beugung am Spalt

$$\sin \alpha_{min} = m \cdot \frac{\lambda}{D} \quad \sin \alpha_{max} = \left(m + \frac{1}{2}\right) \cdot \frac{\lambda}{D}$$

Für kleine Beugungswinkel gilt:

$$x_{min} = m \cdot \frac{\lambda}{D} L \quad x_{max} = \left(m + \frac{1}{2}\right) \cdot \frac{\lambda}{D} L \quad m = 1, 2, 3 \dots$$



Auflösungsvermögen Mikroskopie

$$\Delta l = 1.22 \cdot \frac{f \cdot \lambda}{D}$$

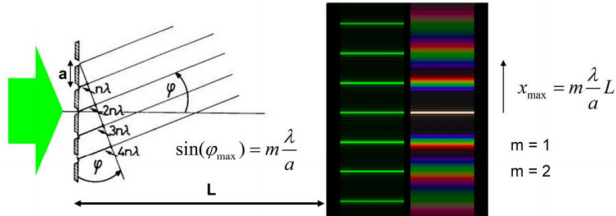
$f$ : Brennweite der Linse

$D$ : Durchmesser der Linse

## 2.13 Beugung am Gitter

Wenn Licht auf eine periodische Anordnung von Streukörpern trifft, können die Elementarwellen, die von den Streukörpern ausgehen in bestimmte Richtungen konstruktiv interferieren und ein Beugungsmuster generieren.

$$\sin \varphi_{max} = m \frac{\lambda}{a} \quad x_{max} = m \frac{\lambda}{a} L \quad m = 1, 2, \dots$$



## 2.14 Polarisation

$$E_t = E_0 \cdot \cos \Delta\varphi$$

$$I_t = I_0 \cdot \cos^2(\Delta\varphi)$$

Polarisationsgrad:

$$PG = \frac{P_{max} - P_{min}}{P_{max} + P_{min}}$$

## 2.15 Transmission und Reflexion (Fresnell)

under construction

## 2.16 Absorption

Viele Materialien absorbieren einen Teil des Lichtes. Die Absorption hängt von der Wellenlänge ab und ist oft charakteristisch für ein Material.

$$I(d) = I_0 \cdot 10^{-\alpha d} \quad I(d) = I_0 \cdot e^{-\alpha^* d} \quad I(d) = I_0 \cdot 10^{-\frac{\alpha^i d}{10}}$$

*Chemiker*                      *Physiker*                      *Optischer Ingenieur*

$\alpha^i$  in dB/m

## 2.17 Intensität Gauss Strahl

Die Intensität quer zur Strahlrichtung hat die Form einer Gauss Kurve. Im Abstand  $r=W$  von der  $z$ -Achse fällt die Intensität auf 13.5% ( $e^{-2}$ ) ab.

$$I(r, z) = I_0 \underbrace{\left( \frac{W_0}{W(z)} \right)^2}_{I(0,z)} \cdot \underbrace{e^{-\frac{2r^2}{W(z)^2}}}_{\text{Querschnittsprofil}}$$

Strahlradius  $W(z)$ :

$$W(z) = W_0 \sqrt{1 + \left( \frac{z}{z_0} \right)^2}$$

Mit  $\pm z_0$  wird der Rayleigh Bereich (Tiefenschärfe) bezeichnet.

$$2z_0 = \frac{2\pi W_0^2}{\lambda}$$



Öffnungswinkel:

$$\theta_0 \approx \tan \theta_0 = \frac{\lambda}{\pi W_0} \quad \text{in rad}$$

Gauss Strahlen:

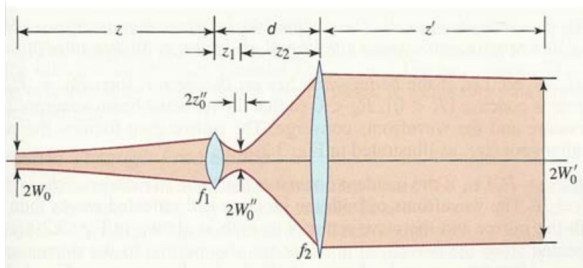
$$W_{FWHM}(z) = 1.18 \cdot W(z) \quad \theta_{FWHM} = 1.18 \cdot \theta_0$$

## 2.18 Kollimierter Gauss Strahl

Ein Strahl heisst kolimiert/gebündelt, wenn die Divergenz sehr klein ist. Man bezeichnet einen Strahl auch als kollimiert, wenn der Rayleigh Bereich des Strahls ungefähr gleich gross ist wie die relevante Propagationsdistanz der Anwendung.

$$W_0' = \frac{\lambda \cdot f}{f \cdot W_0} \geq \frac{2\lambda \cdot f}{\pi \cdot D} \equiv \frac{2\lambda}{\pi} F_N$$

$$\frac{W_0}{W_0'} = \frac{f_1}{f_2'}$$



## 2.19 Wellenleiter

### 2.19.1 Metall-Wellenleiter

Als einfachstes System eines Wellenleiters kann man zwei parallele metallene Oberflächen (Spiegel) nehmen.

**Bedingung:** Wellenfronten von Reflexionen in die gleiche Richtung interferieren konstruktiv.

$$\sin \theta_m = \frac{m \cdot \lambda}{2d} \quad m = 1, 2, 3, \dots$$

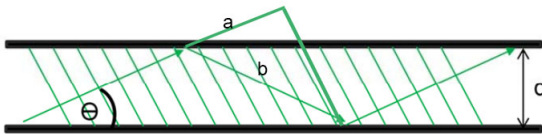
Da der sinus maximal 1 sein kann, gibt es eine maximale Anzahl Moden:

$$M \leq \frac{2d}{\lambda}$$

$$\lambda_c = 2d$$

wenn  $\lambda > \lambda_c$  kann sich das Licht in dieser Art Wellenleiter nicht fortbewegen.

$$v_m = c \cdot \cos \theta_m = c \sqrt{1 - m^2 \cdot \frac{\lambda^2}{\lambda_c^2}}$$



### 2.19.2 Dielektrische planare Wellenleiter

Ein dielektrischer Wellenleiter besteht aus einem Kern und einem Mantel mit unterschiedlichen Brechungsindizes. Wenn  $n_1 > n_2$  gibt es innerhalb eines Winkelbereichs Totalreflexion und die Struktur funktioniert als Wellenleiter.

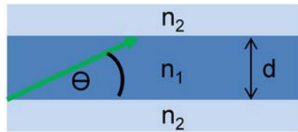
$$\cos \bar{\theta}_c = \frac{n_2}{n_1}$$

$$\tan\left(\pi \frac{d}{\lambda} \cdot \sin \theta_m - m \frac{\pi}{2}\right) = \sqrt{\frac{\sin^2 \bar{\theta}_c}{\sin^2 \theta_m} - 1} \quad m = 1, 2, 3, ..$$

Wie bei den metallischen gibt es zu jedem  $\theta_m$  eine Mode, die propagieren. Die Anzahl der Moden ist durch  $\theta_c$  beschränkt und beträgt:

$$M \doteq \frac{2d \cdot \sin \bar{\theta}_c}{\lambda} \doteq \frac{2d}{\lambda_0} \cdot NA \quad \doteq \rightarrow \text{nächst grössere ganze Zahl}$$

$$NA = \sqrt{n_1^2 - n_2^2} = n_1 \cdot \sin \bar{\theta}_c$$



$NA$  : Numerische Apertur

### 2.19.3 Modenprofil

Die Eindringtiefe nimmt mit der Modenzahl zu.

$$\delta_m = \frac{\lambda_0}{n_2 \cdot 2\pi} \left( \frac{\cos^2 \theta_m}{\cos^2 \bar{\theta}_c} - 1 \right)^{-\frac{1}{2}}$$

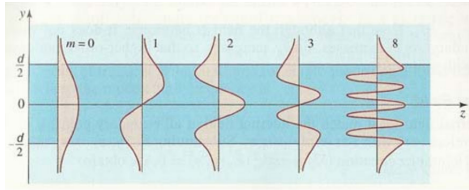
Im Unterschied zum metallenen Wellenleiter gibt es im dielektrischen immer eine Mode, selbst für sehr kleine  $d$ . Zu jeder Dicke gibt es jedoch einen cut-off Frequenz, unterhalb derer der Wellenleiter nur eine Mode zulässt.

$$f_c = \frac{c}{NA \cdot 2d}$$

Single mode wenn:

$$f < f_c$$

$$\lambda > \lambda_c = 2d \cdot NA$$



## 2.20 Optische Fasern

### 2.20.1 Singlemodedefaser

Optische Fasern bestehen aus einem Kern und einem Mantel mit unterschiedlichen Brechungsindizes. Es gibt Moden, deren Anzahl durch den Durchmesser des Kerns gegeben ist.

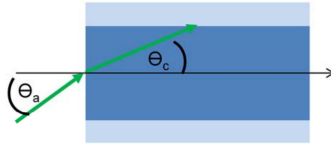
Um einen geringen Verlust zu erlangen, muss der Strahldurchmesser dem Modenprofil entsprechen und die Strahldivergenz muss kleiner sein als:

$$\sin \theta_a = NA = \sqrt{n_1^2 - n_2^2}$$

Single Mode kann nur der Grundmode ( $m=0$ ) propagieren für die Frequenzen unterhalb der cut-off Frequenz.

$$f_c = \frac{c}{NA \cdot 2.61a}$$

$a$  : Kernradius



### 2.20.2 Multimodefaser

Für Fasern mit grossem Kernradius  $a$  gilt:

$$M \approx \left( \frac{4a}{\lambda_0} \cdot NA \right)^2$$



## Kapitel 3

# Quanten Optik

### 3.1